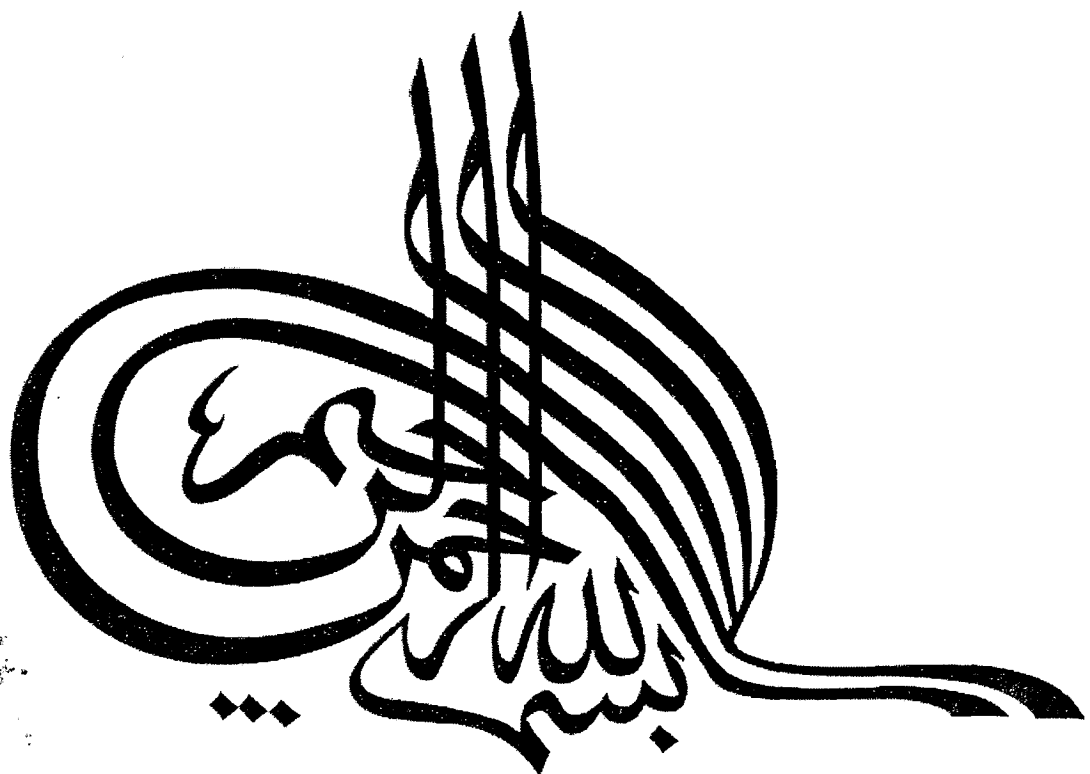
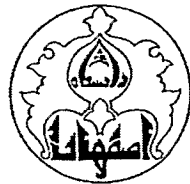


۱۰/۱/۱۴۷۶
۱۰/۱/۹



۱۰۸۰



دانشگاه اصفهان

دانشکده علوم

گروه زمین شناسی

پایان نامه‌ی کارشناسی ارشد رشته‌ی زمین شناسی گرایش پترولوزی

مطالعه پترولوزی گرانیت آیرکان (شمال شرق استان اصفهان)

استاد راهنما:

دکتر قدرت ترابی

استاد مشاور:

دکتر جمشید احمدیان

پژوهشگر:

حمیده بهارزاده

تیر ماه ۱۳۸۷

۱۰۸۰۴۰

کلیه حقوق مادی مترتب بر نتایج مطالعات،
ابتكارات و نوآوری های ناشی از تحقیق
موضوع این پایان نامه متعلق به دانشگاه
اصفهان است.

پایان نامه کارشناسی ارشد
دانشگاه اصفهان
دانشکده علوم
گروه زمین شناسی



دانشگاه اصفهان
دانشکده علوم
گروه زمین شناسی

پایان نامه‌ی کارشناسی ارشد رشته‌ی زمین شناسی گرایش پترولوزی خانم حمیده بهارزاده
تحت عنوان

مطالعه پترولوزی گرافیت آیرکان (شمال شرق استان اصفهان)

در تاریخ ۱۳۸۷/۴/۲ توسط هیأت داوران زیر بررسی و با درجه **ممتاز**... به تصویب نهایی رسید.

امضا

۱- استاد راهنمای پایان نامه دکتر قدرت ترابی با مرتبه‌ی علمی استادیار

۲- استاد مشاور پایان نامه دکتر جمشید احمدیان با مرتبه‌ی علمی مریب

۳- استاد داور داخل گروه دکتر موسی نقره نیان با مرتبه‌ی علمی دانشیار

امضا

۴- استاد داور خارج از گروه دکتر مهین منصوری با مرتبه‌ی علمی استادیار

امضا

امضای معاون گروه

سپاسگزاری

ستایش خدایی را سزاست که با آفرینش مخلوقات، بر انسان ها تجلی کرد، و با برهان و دلیل خود را بر قلب هایشان آشکار کرد و مخلوقات را بدون نیاز به فکر و اندیشه آفرید.

خداآوند مهریان را شاکرم که در مرحله ای دیگر از زندگی، همچون همیشه مرا یاری نمود. اکنون که به حول و قوه الهی انجام این پژوهش را به پایان رساندم بر خود لازم می دانم از همه عزیزانی که مرا در این راه یاری و همراهی کردند تشکر و قدردانی نمایم.

از استاد گرامی، جناب آقای دکتر قدرت ترابی، به عنوان استاد راهنمای، که در سراسر انجام این پژوهش مرا یاری نموده و نهایت مساعدت را با اینجانب داشته اند، سپاسگزاری می نمایم.

از جناب آقای دکتر جمشید احمدیان برای راهنمایی هایشان به عنوان استاد مشاور مراتب سپاس خود را ابراز می نمایم.

از استاد محترم گروه زمین شناسی آقایان، دکتر خلیلی، دکتر طباطبائی منش، دکتر شریفی، دکتر جباری، دکتر مکی زاده، دکتر نقره ئیان که افتخار شاگردیشان را داشته ام، کمال تشکر را دارم.

از سرکار خانم مهندس زهره ابراهیمیان که همواره در طول انجام این پژوهش مانند دوست و خواهری مهریان همراه من بوده از صمیم قلب سپاسگزارم.

از جناب آقای مهندس سعید عابدی، کارشناس امور معدنی اداره صنایع و معادن به خاطر زحماتشان کمال تشکر و قدردانی را می نمایم.

از دوستان و همکلاسی های خوبیم، به ویژه خانم ها مهندس سمانه رحمتی، سمانه آقابابایان و اکرم السادات میرلوحی قدردانی می نمایم.

از تلاش و مساعدت کارمندان محترم گروه زمین شناسی به ویژه سرکار خانم شاه پیری مسئول کتابخانه نهایت قدردانی را دارم.

و در نهایت قدردانی و سپاس خود را به پدر و مادر عزیزم و همه اعضای خانواده ام تقدیم می دارم که همواره در طول زندگی ام مرا مورد پشتیبانی و مهریانی خویش قرار داده اند.

با تشکر و سپاس فراوان

حمیده بهارزاده

تقدیم به

مهربانان همیشه همراهم

پدر و مادر مهربانم

چکیده:

منطقه مورد مطالعه (آیرکان)، در ۷۱ کیلومتری شمال شرق خور در استان اصفهان واقع است که در تقسیمات زمین‌شناسی ایران در ایران مرکزی قرار دارد.

توده نفوذی به سن ژوراسیک میانی، دارای زینولیت‌هایی از واحدهای رسوبی و دگرگونی (وجود مرمر و شیست) می‌باشد.

سنگ‌های توده نفوذی دانه درشت بوده و در نمونه دستی با رنگ صورتی دیده می‌شوند. دایک‌های آپلیتی نیز توده نفوذی را قطع نموده است که در نمونه دستی ریز بلور بوده و به رنگ روشن دیده می‌شوند. ضخامت این دایک‌ها به ۵۰ سانتیمتر نیز می‌رسد. آنکلاوهایی نیز در توده نفوذی وجود دارد که تیره‌تر و ریز‌دانه‌تر از سنگ در بر گیرنده شان هستند و دارای حاشیه گرد شده می‌باشند.

سنگ‌های مورد مطالعه شامل کانی‌های اصلی فلدوپار پتاسیم (ارتوكلاز و میکروکلین)، بیوتیت (آنیت و سیدروفیلیت)، مسکویت، کوارتز، پلاژیوکلاز (الیگوکلاز و آندزین) و کانی‌های فرعی آپاتیت، زیرکن و اکسیدهای آهن هستند.

مطالعات پتروگرافی و ژئوشیمیایی نشان می‌دهد این سنگ‌ها دارای ترکیب آلکالی گرانیت می‌باشند. آنکلاوهای از نوع میکروگرانولار فلزیک می‌باشند.

دماهای به دست آمده با استفاده از ترکیب فلدوپارها بسیار کمتر از دماهائی است که بیانگر محیط‌های آذرین می‌باشد و می‌توان نتیجه گرفت که ترکیب فلدوپارها تحت تاثیر فرآیندهای ساب سولیدوس تغییر یافته است.

بررسی بیوتیت‌های موجود در منطقه مورد بررسی دمای 634°C برای آلکالی گرانیت‌ها و دمای 632°C برای دایک‌های آپلیتی و دمای 661°C برای آنکلاوهای ارائه نموده است که بیانگر محیط آذرین می‌باشد. ترمومتری کلریت‌های موجود در آلکالی گرانیت‌های منطقه مورد بررسی دمایی در حدود 188°C را ارائه نموده است که بیانگر دمای آلتراسیون بیوتیت‌ها است.

سن این گرانیت با استفاده از روش Rb-Sr 168 ± 8 میلیون سال یعنی ژوراسیک میانی تعیین شده است. اما تعیین سن بیوتیت و فلدوپارهای موجود در آن به روش K-Ar 113 ± 9 میلیون سال یعنی کرتاسه زیرین می‌باشد که احتمالاً نشان دهنده زمان دگرشکلی است.

با توجه به این که سن توده نفوذی مذکور به ژوراسیک میانی ختم می‌شود، دلیل این پلوتونیسم را می‌توان به فاز کوهزاری سیمرین و احتمالاً سیمرین میانی نسبت داد.

گسل چوبانان در شکل گیری ساختار زمین‌شناسی منطقه آیرکان و نیز جایگیری توده نفوذی آن نقش بارزی داشته است و احتمالاً علت میلونیتی شدن توده نفوذی منطقه مورد مطالعه نیز است.

زمین‌شناسان روس در پژوهه تکنواکسپورت، گرانیت آیرکان را یک گرانیت گنایس با سن پروتروزوئیک بالایی معرفی نمودند. اما بررسی حاضر نشان می‌دهد که این توده نفوذی یک گرانیت گنایس نبوده و یک گرانیت میلونیتی است.

Shawad صحرایی، پتروگرافی و ژئوشیمیایی نشان می‌دهد که توده نفوذی آیرکان، دایک‌های آپلیتی و آنکلاوهای آن دارای ماهیت پرآلومین و از نوع S می‌باشند.

با توجه به نمودارهای ژئوشیمیایی، سنگ‌های نفوذی منطقه مورد مطالعه از نوع کالک آلکالن بوده و در محیط تکتونیکی همزمان با برخورد تشکیل شده‌اند.

بهترین منبع گرانیت‌های تیپ S برخورد دو صفحه قاره‌ای است، با توجه به ترکیب گرانیت‌ها و وجود دگرگونه‌های جندق در منطقه بنابراین احتمالاً منبع گرانیت‌های منطقه مورد مطالعه شیسته‌های ناحیه می‌باشد. از آنجایی که گرانیت‌ها از نوع آلکالی گرانیت هستند بنابراین شیسته‌هایی که از ذوب آن‌ها گرانیت آیرکان و سنگ‌های وابسته به وجود آمده است میکا شیسته‌ها می‌باشند.

کلید واژه - توده نفوذی آیرکان، آنکلاو، دایک های آپلیتی، ژوراسیک میانی، عروسان کوره گز، ایران مرکزی.

فهرست مطالب

صفحه	عنوان
	فصل اول: کلیات
۱	۱-۱- مقدمه
۳	۲-۱- اهداف پژوهش
۳	۳-۱- ویژگی های جغرافیایی
۵	۴-۱- پیشینه پژوهش
۶	۵-۱- ضرورت این مطالعه
۶	۶-۱- روش کار
۷	۷-۱- شیوه تحقیق

فصل دوم: زمین شناسی عمومی

۸	۱-۲- مقدمه
۱۱	۲-۱- پرکامبرین (پروتروزوئیک فوقانی)
۱۱	۲-۳- پالثوزوئیک (کامبرین زیرین)
۱۲	۲-۴- مزوزوئیک
۱۲	۴-۱- روراسیک
۱۲	۴-۲- کرتاسه بالایی
۱۲	۴-۲-۱- سازند دیرسو
۱۲	۴-۲-۲- سازند هفت تومان
۱۲	۴-۲-۳- سازند فرخی
۱۲	۴-۵- سنوزوئیک
۱۲	۶-۲- کواترنر
۱۲	۷-۲- زمین ساخت و گسل های موجود در منطقه
۱۴	۷-۲-۱- ماسیف انارک- خور

صفحه	عنوان
۱۴	۲-۷-۲- فرورفتگی کویر بزرگ و حوضه های بین کوهستانی فرعی در آلپین پسین
۱۵	۳-۷-۲- گسلش
۱۵	۱-۳-۷-۲- گسل کویر بزرگ
۱۵	۲-۳-۷-۲- گسل چوبانان
۱۶	۳-۳-۷-۲- گسل ترکمنی- اوردیب
۱۸	۸-۲- بررسی های صحرایی
۱۸	۱-۸-۲- آلکالی گرانیت
۲۰	۲-۸-۲- دایک های آپلیتی
۲۱	۳-۸-۲- آنکلاوها
۲۱	۴-۸-۲- چشمہ شتری

فصل سوم: پتروگرافی

۲۳	۱-۳- مقدمه
۲۴	۲-۳- توده نفوذی
۲۵	۱-۲-۳- آلکالی فلدسپار
۲۵	۲-۲-۳- کوارتز
۲۶	۳-۲-۳- بیوتیت
۲۸	۴-۲-۳- مسکویت
۲۸	۵-۲-۳- پلازیوکلاز
۲۹	۶-۲-۳- زیرکن
۲۹	۷-۲-۳- آپاتیت
۲۹	۸-۲-۳- کانی های اپاک
۲۹	۹-۲-۳- کانی های رسی
۳۰	۳-۳- دایک های آپلیتی

عنوان		صفحة
۱-۳-۳- آلکالی فلدسپار	۳۰
۲-۳-۳- کوارتز	۳۰
۳-۳-۳- بیوتیت	۳۱
۴-۳-۳- مسکویت	۳۱
۵-۳-۳- پلاژیوکلاز	۳۱
۶-۳-۳- زیرکن	۳۱
۷-۳-۳- آپاتیت	۳۱
۸-۳-۳- کانی های اپاک	۳۱
۹-۳-۳- کانی های رسی	۳۱
۴-۳- آنکلاوهای	۳۲
۱-۴-۳- آنکلاوهای مشاهده شده در منطقه مورد مطالعه	۳۶
۱-۱-۴-۳- آلکالی فلدسپار	۳۶
۲-۱-۴-۳- بیوتیت	۳۶
۳-۱-۴-۳- کوارتز	۳۷
۴-۱-۴-۳- مسکویت	۳۷
۵-۱-۴-۳- پلاژیوکلاز	۳۷
۶-۱-۴-۳- زیرکن	۳۸
۷-۱-۴-۳- آپاتیت	۳۸
۸-۱-۴-۳- کانی های اپاک	۳۸
۳-۵- نتایج حاصل از بخش پتروگرافی	۳۹

فصل چهارم: شیمی کانی ها

۱-۴- مقدمه	۴۰
۲-۴- کریستال شیمی فلدسپات ها	۴۱
۳-۴- کریستال شیمی بیوتیت ها	۴۲

صفحه	عنوان
۴۶	۴-۴- کریستال شیمی مسکویت ها
۴۹	۴-۵- کریستال شیمی کلریت ها
فصل پنجم: ژئوشیمی	
۵۱	۱-۱- مقدمه
۵۶	۲-۱- طبقه بندی توده نفوذی، دایک های آپلیتی و آنکلاوهای موجود در آن
۵۶	۲-۲- نمودار نسبت مجموع آلکالی در برابر SiO_2
۵۶	۲-۳- نمودار میدل موست و همکاران (۱۹۹۱)
۵۷	۲-۴- نمودار لوباس و همکاران (۱۹۸۶)
۵۸	۲-۵- نمودار کاکس و همکاران (۱۹۷۹)
۵۸	۲-۶- نمودار An-Ab-Or بارکر (۱۹۷۹)
۵۹	۲-۷- نمودار R_1-R_2 دولارش و همکاران (۱۹۸۰)
۶۱	۲-۸- نمودار کاتیونی دبون و لفورت (۱۹۸۳)
۶۲	۲-۹- نمودار K_2O در برابر SiO_2 لومتر و همکاران (۱۹۸۹)
۶۳	۳-۱- تعیین سری ماغمایی مولد سنگ ها
۶۳	۳-۲- نمودار $\text{Na}_2\text{O}+\text{K}_2\text{O}$ در برابر SiO_2
۶۴	۳-۳- نمودار AFM (ایروین و باراگار (۱۹۷۱))
۶۴	۳-۴- نمودار تعیین درجه اشباعیت از آلومنیم
۶۷	۳-۵- نمودار ACF (قاتل و بوون، ۱۹۵۸)
۶۷	۴-۱- نمودار $\text{Na}_2\text{O}-\text{K}_2\text{O}$ (مانیار و پیکولی، ۱۹۸۹)
۶۸	۴-۲- نمودار SiO_2 در برابر $\text{K}_2\text{O}+\text{Na}_2\text{O}-\text{CaO}$ فرات و همکاران (۲۰۰۱)
۶۹	۴-۳- نمودار SiO_2 در مقابل $\text{FeO}/\text{FeO}_t+\text{MgO}$ فرات و همکاران (۲۰۰۱)
۷۰	۴-۴- نمودار های هارکر (۱۹۰۹)

صفحه	عنوان
	فصل ششم: پتروژن و موقعیت تکتونوماگمایی
۷۵	-۱-۶- ژئوترمومتری
۷۵	-۱-۱-۶- ژئوترمومتری فلدسپات
۷۷	-۲-۱-۶- ژئوترمومتری بیوتیت
۷۸	-۳-۱-۶- ژئوترمومتری کلریت
۷۹	-۴-۱-۶- تعیین فشار بخار آب توده نفوذی (بست، ۱۹۸۲)
۸۰	-۵-۱-۶- تعیین دمای توده نفوذی (تاتل و بوون، ۱۹۵۸)
۸۱	-۲-۶- نمودارهای تعیین کننده محیط تکتونیکی و سری ماغمایی با کمک بیوتیت
۸۳	-۳-۶- عناصر نادر خاکی
۸۳	-۱-۳-۶- نمودار چند عنصری سنگ های منطقه نرمالیزه به کندریت
۸۴	-۲-۳-۶- الگوی عناصر نادر خاکی
۸۵	-۳-۳-۶- نتایج حاصل از دیاگرام های عنکبوتی سنگ های منطقه مورد مطالعه
۸۶	-۴-۶- نمودار $\text{CaO}/(\text{MgO} + \text{FeO})$ در برابر $\text{Al}_2\text{O}_3/(\text{MgO} + \text{FeO})$ آلترو همکاران (۲۰۰۰)
۸۷	-۵-۶- تعیین محیط تکتونیکی
۸۹	-۱-۵-۶- گرانیتوئیدهای نواحی کوهزایی
۸۹	-۲-۵-۶- گرانیتوئیدهای نواحی غیر کوهزایی
۹۳	-۶- ویژگی های شاخص گرانیتوئید های نوع S
۹۳	-۷-۶- ویژگی های شاخص گرانیتوئید های نوع I
۹۴	-۸-۶- ویژگی های سنگ های گرانیتوئیدی ناحیه مورد مطالعه
۹۴	-۹-۶- ارائه مدل تکتونوماگمایی بر اساس ژئوشیمی عناصر اصلی
۹۴	-۱-۹-۶- نمودار K_2O در برابر SiO_2 مانیار و پیکولی (۱۹۸۹)
۹۵	-۲-۹-۶- نمودار $\%FW$ در برابر $\%MW$ مانیار و پیکولی (۱۹۸۹)
۹۶	-۳-۹-۶- نمودار $(\text{FeO}_{\text{t}}/\text{FeO}_{\text{t}} + \text{MgO})$ در برابر SiO_2 مانیار و پیکولی (۱۹۸۹)
۹۶	-۴-۹-۶- نمودار $ACNK$ در برابر ANK مانیار و پیکولی (۱۹۸۹)

صفحه	عنوان
۹۷	۶-۹-۵- نمودار R_1 - R_2 بچلور و بودن (۱۹۸۵)
فصل هفتم: نتیجه گیری و پیشنهادات	
۱۰۲	۱-۷- نتیجه گیری
۱۰۳	۲-۷- پیشنهادات
۱۰۴	پیوست
۱۰۷	منابع و مأخذ

فهرست شکل ها

عنوان	صفحه
شکل ۱-۱- نقشه راه های دسترسی به منطقه مورد مطالعه	۴
شکل ۲-۱- خروج گاز CO_2 و تشکیل حفره در دشت کویری آیرکان	۵
شکل ۳-۱- نمایی از چشمه شتری	۵
شکل ۲-۱- موقعیت منطقه مورد مطالعه در نقشه ایران	۹
شکل ۲-۲- نقشه زمین شناسی ساده شده منطقه مورد مطالعه	۱۰
شکل ۳-۲- تصویر ماهواره ای از منطقه مورد مطالعه	۱۰
شکل ۴-۲- نقشه تکتونیکی و موقعیت گسل های منطقه مورد مطالعه (تکنواکسپورت)	۱۷
شکل ۵-۲- نمای کلی از کوه آیرکان	۱۹
شکل ۶-۲- نفوذ دایک آپلیتی به درون توده نفوذی	۱۹
شکل ۷-۲- وجود آنکلاوها در توده نفوذی که دارای مرز مشخص (شارپ) می باشند	۲۰
شکل ۸-۲- دایک آپلیتی که توده نفوذی را قطع کرده است	۲۰
شکل ۹-۲- آنکلاوها در توده نفوذی که با رنگ تیره تر خود و حاشیه گرد شده مشخص می شوند	۲۱
شکل ۱۰-۲- دورنمایی از چشمه شتری	۲۲
شکل ۱۱-۲- تصویری از خاک زرد که جهت بررسی های اکتشافی مورد بررسی قرار گرفته است	۲۲
شکل ۱-۳- موقعیت پتروگرافی نمونه های منطقه مورد مطالعه در دیاگرام QAP	۲۴
شکل ۲-۳- نمایی از جهت یافتنگی بیوتیت ها و مسکویت های موجود در گرانیت میلدونیتی (نور XPL)	۲۶
شکل ۳-۳- حضور ارتوکلاز پرتیتی در توده نفوذی (نور XPL)	۲۶
شکل ۴-۳- نمایی از بافت پرتیتی در توده نفوذی (نور XPL)	۲۷
شکل ۵-۳- حضور میکروکلین در توده نفوذی که با ماکل مشبك خود مشخص می شود (نور XPL)	۲۷
شکل ۶-۳- حضور کواتزهای شکل دار تا نیمه شکل دار و دارای خاموشی موجی، بیوتیت های	۲۸
شکل دار تا نیمه شکل دار و دارای جهت یافتنگی در آلکالی گرانیت (نور XPL)	۲۸
شکل ۷-۳- تصویری از بیوتیت ها که دارای زیرکن می باشد (نور XPL)	۲۹
شکل ۸-۳- تصویری از پلازیوکلازهای موجود در آلکالی گرانیت (نور XPL)	۳۰

عنوان		صفحه
شکل ۹-۳- تصویری از آپاتیت که درون فلدسپات قرار گرفته است (نور XPL)	۳۰	
شکل ۱۰-۳- نمایی از بافت آپلیتی یک دایک (نور XPL)	۳۲	
شکل ۱۱-۳- تصویری از بیوتیت های جهت یافته در دایک آپلیتی (نور XPL)	۳۲	
شکل ۱۲-۳- نمایی از ارتوکلازها، مسکویت ها و بیوتیت ها در دایک آپلیتی (XPL)	۳۲	
شکل ۱۳-۳- نمایی از پلاژیوکلاز در دایک آپلیتی (نور XPL)	۳۳	
شکل ۱۴-۳- تصویری از میکروگرانولار با کانی شناسی بیوتیت، کوارتز و مسکویت در یک آنکلاو (نور XPL)	۳۶	
شکل ۱۵-۳- نمایی از بافت میکروگرانولار با کانی شناسی بیوتیت، کوارتز و مسکویت در یک آنکلاو (نور XPL)	۳۷	
شکل ۱۶-۳- حضور زیرکن در آنکلاو که در داخل ارتوکلاز قرار دارد (نور XPL)	۳۸	
شکل ۱۷-۳- تصویری از آپاتیت های موجود در آنکلاو (نور XPL)	۳۸	
شکل ۱-۴- نمایش ترکیب فلدسپارهای منطقه مورد مطالعه بر روی نمودار ارتوز-آلبیت-آنورتیت (دیر و همکاران، ۱۹۹۱)	۴۱	
شکل ۲-۴- طبقه بندی بیوتیت های منطقه مورد مطالعه (دیر و همکاران، ۱۹۹۱)	۴۵	
شکل ۳-۴- رده بندی میکاهای بر اساس نمودار. دیر و همکاران (۱۹۹۱)	۴۵	
شکل ۴-۴- طبقه بندی میکاهای منطقه در نمودار فوستر (۱۹۶۰)	۴۶	
شکل ۵-۴- ترکیب شیمیایی مسکویت های منطقه مورد مطالعه	۴۷	
شکل ۱-۵- دیاگرام آلکالی- سیلیس و نسبت $\text{FeO}/(\text{FeO}+\text{Fe}_2\text{O}_3)$	۵۳	
شکل ۲-۵- نمودار مجموع اکسید آلکالی در برابر سیلیس (میدل موست، ۱۹۹۱)	۵۶	
شکل ۳-۵- رده بندی سنگ های منطقه بر اساس (لوباس و همکاران، ۱۹۸۶)	۵۷	
شکل ۴-۵- رده بندی سنگ های منطقه بر اساس (کاکس و همکاران، ۱۹۷۶)	۵۸	
شکل ۵-۵- نمودار An-Ab-Or (بارکر، ۱۹۷۹)	۵۹	
شکل ۶-۵- طبقه بندی ژئوشیمیایی سنگ ها از دیدگاه دولارش و همکاران (۱۹۸۰)	۶۰	
شکل ۷-۵ شکل ۵-۵ نمودار Q-P (دبون و لفورت، ۱۹۸۳) و موقعیت نمونه های منطقه مورد	۶۲	
شکل ۸-۵- نمودار تقسیم بندی لومتر و همکاران (۱۹۸۹)	۶۳	

عنوان	
صفحه	
شکل ۹-۵- ماقمای سازنده نمونه های منطقه مورد مطالعه طبق (ایروین و باراگار ۱۹۷۱) ساب آلکالن می باشد.....	۶۳
شکل ۱۰-۵- نمودار AFM (ایروین و باراگار ۱۹۷۱).....	۶۴
شکل ۱۱-۵- موقعیت نمونه های منطقه مورد نظر در نمودار $\text{SiO}_2/\text{A/CNK}$ در مقابل SiO_2 (چاپ و وايت، ۶۵.....)	(۱۹۷۴)
شکل ۱۲-۵- موقعیت نمونه های منطقه مورد نظر در نمودار $\text{Al}_2\text{O}_3/\text{TiO}_2$ در برابر $\text{CaO}/\text{Na}_2\text{O}$ (معازی، ۶۶.....)	(۲۰۰۴)
شکل ۱۳-۵- نمودار درجه اشباعیت آلومینیم بیوپیت در برابر سنگ کل (پیر، ۱۹۹۳).....	۶۶
شکل ۱۴-۵- نمودار ACF و تعیین محدوده های پرآلومین و متآلومین (تاتل و بوون، ۱۹۵۸).....	۶۷
شکل ۱۵-۵- نمودار $\text{Na}_2\text{O}-\text{K}_2\text{O}$ - مانیار و پیکولی (۱۹۸۹) و تعیین نوع ماقمای.....	۶۸
شکل ۱۶-۵- موقعیت نمونه های منطقه مورد نظر در نمودار $\text{SiO}_2/\text{K}_2\text{O}+\text{Na}_2\text{O}-\text{CaO}$ (فراست و همکاران، ۲۰۰۱).....	۶۹
شکل ۱۷-۵- نمودار SiO_2 در مقابل $\text{FeOt}/(\text{FeOt}+\text{MgO})$ تمامی نمونه ها در قسمت ماقماین قرار گرفته اند (فراست و همکاران، ۲۰۰۱).....	۶۹
شکل ۱۸-۵- نمودار اکسید- اکسید (هارکر) و موقعیت نمونه های مورد مطالعه بر روی آن، (هارکر، ۱۹۰۹).....	۷۲
شکل ۱۹-۵- نمودار عناصر کمیاب هارکر (۱۹۰۹).....	۷۴
شکل ۲۰-۵- نمودار مثلثی $\text{Na}_2\text{O}-\text{K}_2\text{O}-\text{CaO}$ کلارک (۱۹۹۲).....	۷۴
شکل ۲۱- نمودار ژئوترمومتری یک فلدسپار.....	۷۷
شکل ۲۲- نمودار تصویر ایزوترم های خط کوتکتیک سیستم $\text{KAlSi}_3\text{O}_8-\text{NaAlSi}_3\text{O}_8-\text{SiO}_2-\text{H}_2\text{O}$ (در بار $\text{PH}_2\text{O}=3000$ بار) ، (تاتل و بوون، ۱۹۵۸).....	۸۰
شکل ۲۳- استفاده از ترکیب شیمیایی میکاهای در تعیین موقعیت تکتونوماقمایی سنگ های منطقه مورد مطالعه.....	۸۲
شکل ۲۴- استفاده از ترکیب شیمیایی بیوپیت ها در تعیین موقعیت تکتونوماقمایی گرانیت های منطقه... ۸۳	

عنوان	
صفحه	
شکل ۵-۶- نمودار چند عنصری نرمالیزه به کندریت در نمونه های مورد مطالعه (سان، ۱۹۸۲).....	۸۴
شکل ۶-۶- الگوی عناصر نادر خاکی در مجموعه گرانیتوئیدی آیرکان (سان، ۱۹۸۲).....	۸۵
شکل ۷-۶- نمودار $\text{Al}_2\text{O}_3/(\text{MgO}+\text{FeO})$ در برابر $\text{CaO}/(\text{MgO}+\text{FeO})$ (آلتر و همکاران، ۲۰۰۰).....	۸۶
شکل ۸-۶- ارتباط بین انواع گرانیتوئید و محیط تکتونیکی ارائه شده توسط کاسترو و همکاران (۱۹۹۱).....	۹۲
شکل ۹-۶- نمودار تغییرات K_2O در برابر SiO_2 مانیار و پیکولی (۱۹۸۹).....	۹۴
شکل ۱۰-۶- موقعیت قرار گیری نمونه های منطقه مورد مطالعه در نمودار $\% \text{FW}$ در برابر $\% \text{MW}$ (مانیار و پیکولی، ۱۹۸۹).....	۹۵
شکل ۱۱-۶- موقعیت قرار گیری نمونه های منطقه مورد مطالعه در نمودار $\text{FeO}_t/(\text{FeO}_t+\text{MgO})$ در برابر SiO_2 (مانیار و پیکولی، ۱۹۸۹).....	۹۶
شکل ۱۲-۶- نمودار تعیین موقعیت تکتونیکی گرانیتوئیدها با استفاده از نسبت مولی $\text{Al}_2\text{O}_3/(\text{Na}_2\text{O}+\text{K}_2\text{O})$ و $\text{Al}_2\text{O}_3/(\text{CaO}+\text{Na}_2\text{O}+\text{K}_2\text{O})$	۹۷
شکل ۱۳-۶- نمودار $R_1-\text{R}_2$ - R_1 بچلور و بودن (۱۹۸۵).....	۹۸

فهرست جدول ها

عنوان	صفحة
جدول ۳-۱- انواع مختلف آنکلاوهای ماهیت و اختصاصات اصلی سنگ شناسی آن ها.....	۳۵
جدول ۴-۱- نتایج آنالیز مایکروپرورب فلدسپات های موجود در آلکالی گرانیت آیرکان و دایک های آپلیتی موجود در آن به همراه نتایج محاسبه فرمول ساختاری	۴۲
جدول ۴-۲- نتایج آنالیز مایکروپرورب بیوتیت ها همراه با محاسبه فرمول ساختاری	۴۴
جدول ۴-۳- نتایج آنالیز مایکروپرورب مسکویت ها همراه با محاسبه فرمول ساختاری	۴۸
جدول ۴-۴- نتایج آنالیز مایکروپرورب کلریت ها.....	۵۰
جدول ۵-۱- نتایج آنالیز عناصر اصلی منطقه مورد مطالعه (Wt%)	۵۴
جدول ۵-۲- نتایج آنالیز عناصر فرعی و کمیاب منطقه مورد مطالعه (ppm)	۵۵
جدول ۵-۳- نشانه های سنگ های منطقه مورد مطالعه.....	۵۶
جدول ۶-۱- دماهای حاصل از ژئوترمومتری فلدسپات ها.....	۷۶
جدول ۶-۲- دماهای حاصل از ژئوترمومتری بیوتیت ها.....	۷۸
جدول ۶-۳- دماهای حاصل از ژئوترمومتری کلریت	۷۹
جدول ۶-۴- ویژگی های کانی شناسی و ژئوشیمیایی گرانیتوئیدهای محیط های مختلف تکتونیکی و مقایسه ویژگی های توده نفوذی مورد مطالعه با آن ها (مانیار و پیکولی، ۱۹۸۹).....	۹۹

فهرست پیوست ها

عنوان پیوست	صفحة
پیوست ۱ علائم اختصاری کانی ها	۱۰۴
پیوست ۲ نورم سنگ های ناحیه آبرکان	۱۰۶